

えられる。

$$p = -\rho \frac{\partial \Phi}{\partial t} - \frac{1}{2} \rho |\nabla \Phi|^2 - \rho g z \quad (\text{on } S_w) \dots (7)$$

浮体の没水表面 S_w で定義される境界条件式 (2) より
び圧力式 (7) は、 S_w が浮体の運動とともに変動する
ので、このままの形では数値解析の際にも取り扱い難い。
そこで、Ng・Isaacson (1993) にならって平衡状態にある
固定浮体の没水表面 S_0 まわりについてテイラー展開
を行い、浮体に固定された座標系 $G\bar{x}\bar{z}$ および S_0 上で次式の
ように与えることとする。

$$[\nabla \Phi + X \cdot \nabla (\nabla \Phi) + \dots] \cdot n = V_n \quad (\text{on } S_0) \dots (8)$$

$$(p)_{S_w} = (p + X \cdot \nabla p + \dots)_{S_0} \dots (9)$$

3. 浮体下の Boussinesq 方程式

基礎式に対する Boussinesq 方程式を導くために、入射波と発散波の代表振幅を A 、入射波の代表角周波数を ω 、
代表水深を h として、次の 2 つの無次元パラメーターを導入する。

$$\epsilon = \frac{A}{h}, \quad \mu^2 = \frac{\omega^2 h}{g} \dots (10)$$

変数については次式のように無次元量を定義する。

$$\left. \begin{aligned} x' &= \frac{\omega}{\sqrt{gh}} x, \quad \bar{x}' = \frac{\omega}{\sqrt{gh}} \bar{x}, \quad z' = \frac{z}{h}, \quad \bar{z}' = \frac{\bar{z}}{h} \\ t' &= \omega t, \quad \Phi' = \frac{\omega}{Ag} \Phi, \quad p' = \frac{p}{\rho g h}, \quad X_1' = \frac{\omega}{\sqrt{gh}} X_1, \\ X_2' &= \frac{X_2}{h}, \quad X_3' = \frac{X_3}{\mu} \end{aligned} \right\} \dots (11)$$

ここに、ダッシュ付き変数が無次元量である。

式 (5) および (6) 中の $\sin X_3, \cos X_3$ を $O(X_3^4)$ より高次を無視してそれぞれ $\sin X_3 = X_3 + X_3^3/6, \cos X_3 = 1 - X_3^2/2$ と表した上で、式 (2) および (7) をそれぞれ式 (8), (9) のように展開して表すと次の無次元方程式を得る。なお、以下では表示を簡潔にするためにダッシュは省略する。

$$\begin{aligned} \nabla \Phi \cdot \bar{n} &= \frac{\bar{n}_x}{\epsilon} \left[\dot{X}_1 + \mu^2 \bar{z} \dot{X}_3 - \mu^2 X_2 X_3 \right. \\ &\quad \left. - \frac{1}{2} \mu^2 \dot{X}_1 X_3^2 + \frac{1}{6} \mu^4 \dot{X}_2 X_3^3 \right] \\ &\quad + \frac{\bar{n}_z}{\epsilon} \left[\mu^2 \dot{X}_2 - \mu^2 \bar{x} \dot{X}_3 + \mu^2 \dot{X}_1 X_3 \right. \\ &\quad \left. - \frac{1}{2} \mu^4 \dot{X}_2 X_3^2 - \frac{1}{6} \mu^4 \dot{X}_1 X_3^3 \right] \\ &\quad - (\bar{n}_x + \mu^2 X_3 \bar{n}_z) \left[(X_1 + \mu^2 X_3 \bar{z}) \frac{\partial^2 \Phi}{\partial \bar{x}^2} \right. \\ &\quad \left. + (X_2 - X_3 \bar{x}) \frac{\partial^2 \Phi}{\partial \bar{x} \partial \bar{z}} \right] - (\bar{n}_z - X_3 \bar{n}_x) \\ &\quad \cdot \left[(X_1 + \mu^2 X_3 \bar{z}) \frac{\partial^2 \Phi}{\partial \bar{x} \partial \bar{z}} + (X_2 - X_3 \bar{x}) \frac{\partial^2 \Phi}{\partial \bar{z}^2} \right] \end{aligned}$$

$$+ \frac{1}{2} \mu^2 X_3^2 \bar{n}_x \left[\frac{\partial \Phi}{\partial \bar{x}} + (\bar{x} + X_1) \frac{\partial^2 \Phi}{\partial \bar{x}^2} \right] \\ (\text{on } S_0) \dots (12)$$

$$\begin{aligned} \frac{p}{\epsilon} &= \frac{\bar{p}}{\epsilon} - \left(X_1 + \mu^2 \bar{z} X_3 - \frac{1}{2} \mu^2 X_3^2 \bar{x} - \frac{1}{6} \mu^4 X_3^3 \bar{z} \right) \\ &\quad \cdot \left[\frac{\partial^2 \Phi}{\partial \bar{x} \partial t} + \frac{1}{2} \frac{\partial}{\partial \bar{x}} \left(\epsilon \left(\frac{\partial \Phi}{\partial \bar{x}} \right)^2 + \frac{\epsilon}{\mu^2} \left(\frac{\partial \Phi}{\partial \bar{z}} \right)^2 \right) \right] \\ &\quad - \left(X_2 - \bar{x} X_3 + \frac{1}{6} \mu^2 X_3^3 \bar{x} - \frac{1}{2} \mu^2 X_3^2 \bar{z} \right) \\ &\quad \cdot \left[\frac{\partial^2 \Phi}{\partial \bar{z} \partial t} + \frac{1}{2} \frac{\partial}{\partial \bar{z}} \left(\epsilon \left(\frac{\partial \Phi}{\partial \bar{x}} \right)^2 + \frac{\epsilon}{\mu^2} \left(\frac{\partial \Phi}{\partial \bar{z}} \right)^2 \right) + \frac{1}{\epsilon} \right] \\ (\text{on } S_0) \end{aligned} \dots (13)$$

ただし、 \bar{p} は固定浮体の没水表面上での圧力を示し、次式により与えられる。

$$\frac{\bar{p}}{\epsilon} = -\frac{\partial \Phi}{\partial t} - \frac{\epsilon}{2} \left[\left(\frac{\partial \Phi}{\partial \bar{x}} \right)^2 + \frac{1}{\mu^2} \left(\frac{\partial \Phi}{\partial \bar{z}} \right)^2 \right] - \frac{\bar{z}}{\epsilon} \\ (\text{on } S_0) \dots (14)$$

式 (12) の右辺第 3 項以降および式 (13) の右辺第 2 項以降は浮体の運動にともない発生する項、すなわち式 (8) および (9) のテイラー展開の高次項を示す。

ここで、 Φ を次式のように摂動展開して表す。

$$\Phi = \Phi_0 - \frac{\mu^2}{2} (z+1)^2 \frac{\partial^2 \Phi_0}{\partial x^2} + \frac{\mu^4}{24} (z+1) \frac{\partial^4 \Phi_0}{\partial x^4} + \dots \dots (15)$$

上式はラプラス方程式 (1) と水底条件 (3) をすでに満足している。また、式 (12) により μ については $O(\mu^4)$ まで考慮すれば十分であることがわかる。式 (15) を式 (12) および (13) に代入して、底面流速 $u_0 = \partial \Phi_0 / \partial \bar{x}$ と水深平均流速 u の関係式

$$u_0 = u + \frac{\mu^2}{6} (1+\bar{z})^2 \frac{\partial^2 u}{\partial \bar{x}^2} + O(\mu^4) \dots (16)$$

を用いて u に関する式に書き換えた後、 $O(\epsilon)$ および $O(\mu^2)$ までの項を残すと結局、次式を得る。

$$\begin{aligned} \left[u - \frac{\mu^2 (1+\bar{z})^2}{3} \frac{\partial^2 u}{\partial \bar{x}^2} \right] \bar{n}_x - \left[\mu^2 (1+\bar{z}) \frac{\partial u}{\partial \bar{x}} \right] \bar{n}_z \\ = \frac{\bar{n}_x}{\epsilon} \left[\dot{X}_1 + \mu^2 \bar{z} \dot{X}_3 - \mu^2 \dot{X}_2 X_3 - \frac{1}{2} \mu^2 \dot{X}_1 X_3^2 + \frac{1}{6} \mu^4 \dot{X}_2 X_3^3 \right] \\ + \frac{\bar{n}_z}{\epsilon} \left[\mu^2 \dot{X}_2 - \mu^2 \bar{x} \dot{X}_3 + \mu^2 \dot{X}_1 X_3 \right. \\ \left. - \frac{1}{2} \mu^4 \dot{X}_2 X_3^2 - \frac{1}{6} \mu^4 \dot{X}_1 X_3^3 \right] \\ + \bar{n}_x \left[\frac{\mu^2}{2} X_3^2 u - \left(X_1 + \mu^2 (X_3 \bar{z} + X_3 X_2 \right. \right. \\ \left. \left. - \frac{3}{2} X_3^2 \bar{x} - \frac{1}{2} X_3^2 X_1 + \mu^2 (1+\bar{z}) X_3 \right) \right] \frac{\partial u}{\partial \bar{x}} \\ + \mu^2 (1+\bar{z}) (X_2 - X_3 \bar{x} - X_1 X_3) \frac{\partial^2 u}{\partial \bar{x}^2} \\ + \frac{\mu^2 (1+\bar{z})^2}{3} X_1 \frac{\partial^3 u}{\partial \bar{x}^3} \end{aligned}$$

$$+n_z\left[-\mu^2 X_3 \bar{u} + \mu^2 (X_2 - X_3 \bar{x} - X_1 X_3) \frac{\partial u}{\partial \bar{x}} + \mu^2 (1 + \bar{z}) X_1 \frac{\partial^2 u}{\partial \bar{x}^2}\right] \quad (\text{on } S_0) \quad \dots \dots \dots \quad (17)$$

$$\begin{aligned} \frac{p}{\varepsilon} &= \frac{\bar{p}}{\varepsilon} - X_1 \left[\frac{\partial u}{\partial t} - \frac{1}{3} \mu^2 (1 + \bar{z})^2 \frac{\partial^3 u}{\partial \bar{x}^2 \partial t} + \varepsilon u \frac{\partial u}{\partial \bar{x}} \right] \\ &\quad - \left(\mu^2 \bar{z} X_3 - \frac{1}{2} \mu^2 X_3^2 \bar{x} \right) \frac{\partial u}{\partial t} \\ &\quad + (X_2 - \bar{x} X_3) \left[\mu^2 (1 + \bar{z}) \frac{\partial^2 u}{\partial \bar{x} \partial t} - \frac{1}{\varepsilon} \right] \\ &\quad - \frac{1}{\varepsilon} \left(\frac{1}{6} \mu^2 X_3^2 \bar{x} - \frac{1}{2} \mu^2 X_3^2 \bar{z} \right) \quad (\text{on } S_0) \quad \dots \dots \dots \quad (18) \end{aligned}$$

上式 (18) 中の \bar{p} は式 (14) より次式のように与えられる。

$$\begin{aligned} \frac{\partial u}{\partial t} + \varepsilon u \frac{\partial u}{\partial \bar{x}} - \frac{\mu^2}{3} (1 + \bar{z})^2 \left(\frac{\partial^3 u}{\partial \bar{x}^2 \partial t} \right) + \frac{1}{\varepsilon} \frac{\partial \bar{z}}{\partial \bar{x}} \\ + \frac{1}{\varepsilon} \frac{\partial \bar{p}}{\partial \bar{x}} = 0 \quad (\text{on } S_0) \quad \dots \dots \dots \quad (19) \end{aligned}$$

以上の式 (17)～(19) が浮体下における Boussinesq 方程式である。この方程式系は波動場における Boussinesq 方程式と同様に、流速 u の定義や時間微分による空間微分の置き換えにより種々の形のものに書き換えることができる。特に、水深平均流速 u に代わって、関係式

$$u_a = u_0 - \frac{\mu^2}{2} (1 + \bar{z}_a)^2 \frac{\partial^2 u_0}{\partial \bar{x}^2} + O(\mu^4) \quad \dots \dots \dots \quad (20)$$

を用いて任意水深 \bar{z}_a における流速 u_a で定義し直した式は分散特性を改善し短周期波に対する適用性を向上させると考えられるが(Nwogu, 1993), 得られる方程式系では式 (17) がより煩雑になり計算アルゴリズムも複雑になるのでここでは平均流速 u による方程式系を用いることとした。

式 (18)～(20) は次元量を用いて表すとそれぞれ次の各式のようになる。

$$\begin{aligned} \left[u - \frac{(h+\bar{z})^2}{3} \frac{\partial^2 u}{\partial \bar{x}^2} \right] \bar{n}_x - \left[(h+\bar{z}) \frac{\partial u}{\partial \bar{x}} \right] \bar{n}_z \\ = \bar{n}_x \left[\dot{X}_1 + \bar{z} \dot{X}_3 - \dot{X}_2 X_3 - \frac{1}{2} \dot{X}_1 X_3^2 + \frac{1}{6} \dot{X}_2 X_3^3 \right] \\ + \bar{n}_z \left[\dot{X}_2 - \bar{x} \dot{X}_3 + \dot{X}_1 X_3 - \frac{1}{2} \dot{X}_2 X_3^2 - \frac{1}{6} \dot{X}_1 X_3^3 \right] \\ + \bar{n}_x \left[\frac{1}{2} X_3^2 u - \left(X_1 + X_3 \bar{z} + X_3 X_2 - \frac{3}{2} X_3^2 \bar{x} \right. \right. \\ \left. \left. - \frac{1}{2} X_3^2 X_1 + (h+\bar{z}) X_3 \right) \frac{\partial u}{\partial \bar{x}} \right. \\ \left. + (h+\bar{z})(X_2 - X_3 \bar{x} - X_1 X_3) \right. \\ \left. + \frac{\partial^2 u}{\partial \bar{x}^2} + \frac{(h+\bar{z})^2}{3} X_1 \frac{\partial^3 u}{\partial \bar{x}^3} \right] \\ + \bar{n}_z \left[-X_3 u + (X_2 - X_3 \bar{x} - X_1 X_3) \right. \\ \left. + \frac{\partial u}{\partial \bar{x}} + (h+\bar{z}) X_1 \frac{\partial^2 u}{\partial \bar{x}^2} \right] \quad (\text{on } S_0) \quad \dots \dots \dots \quad (21) \end{aligned}$$

$$\begin{aligned} \frac{p}{\rho} &= \frac{\bar{p}}{\rho} - X_1 \left[\frac{\partial u}{\partial t} - \frac{1}{3} (h+\bar{z})^2 \frac{\partial^3 u}{\partial \bar{x}^2 \partial t} + u \frac{\partial u}{\partial \bar{x}} \right. \\ &\quad \left. - \left(\bar{z} X_3 - \frac{1}{2} X_3^2 \bar{x} \right) \frac{\partial u}{\partial t} \right] \\ &\quad + (X_2 - \bar{x} X_3) \left[(h+\bar{z}) \frac{\partial^2 u}{\partial \bar{x} \partial t} \right] \\ &\quad - g \left(X_2 - \bar{x} X_3 + \frac{1}{6} X_3^2 \bar{x} - \frac{1}{2} X_3^2 \bar{z} \right) \quad (\text{on } S_0) \\ &\quad \dots \dots \dots \quad (22) \end{aligned}$$

$$\begin{aligned} \frac{\partial u}{\partial t} + u \frac{\partial u}{\partial \bar{x}} - \frac{(h+\bar{z})^2}{3} \left(\frac{\partial^3 u}{\partial \bar{x}^2 \partial t} \right) + g \frac{\partial \bar{z}}{\partial \bar{x}} + \frac{1}{\rho} \frac{\partial p}{\partial \bar{x}} = 0 \\ (\text{on } S_0) \quad \dots \dots \dots \quad (23) \end{aligned}$$

なお、方程式系 (21)～(23) に対応する波動場の Boussinesq 方程式には水位変動 η と平均流速 u についてのよく知られた次式を用いる。

$$\frac{\partial \eta}{\partial t} + \frac{\partial}{\partial x} [(h+\eta) u] = 0 \quad \dots \dots \dots \quad (24)$$

$$\frac{\partial u}{\partial t} + u \frac{\partial u}{\partial x} + g \frac{\partial \eta}{\partial x} - \frac{h^2}{3} \frac{\partial^3 u}{\partial x^2 \partial t} = 0 \quad \dots \dots \dots \quad (25)$$

4. 浮体の運動方程式

浮体下の Boussinesq 方程式 (21) および (22) 中の浮体の動揺量 X_j ($j=1, 2, 3$) および動搖速度 \dot{X}_j は、時間領域における次の浮体の運動方程式を解くことにより決定される。

$$M_{ij} \ddot{X}_j + K_{ij} X_j = F_i \quad (i=1, 2, 3) \quad \dots \dots \dots \quad (26)$$

ここに、 M_{ij} は慣性マトリックス、 K_{ij} は浮体の係留による復元力を表すバネ定数マトリックスであり、 F_i は i モード方向への流体力である。上式中の F_i は、波強制力と Radiation 力のほかに静水力学的な復元力も含む全流体力を表す。ただし、ここでは粘性による減衰力は無視している。

全流体力 F_i については、浮体の動搖により変動する没水表面 S_w 上で式 (18) の η を積分することにより得られるが、この場合も数値計算の際に取り扱いやすくするために積分範囲を固定浮体の没水表面 S_0 上に定義し直す必要がある。結果を次元量で表示すると、 x 方向に働く力 F_1 として次式を得る。なお、 z 方向に働く力 F_2 および G 点まわりのモーメント F_3 についてもそれぞれ同様な表示式を得るが、紙面の都合上ここでは省略する(Kioka・Hiraoka, 1995 参照)。

$$\begin{aligned} F_1 &= \int_{S_0} \bar{p} \bar{n}_x ds - \rho g \int_{w_0} \frac{1}{2} \left[\eta^2 + (X_2 - X_3 \bar{x})^2 \right. \\ &\quad \left. - 2\eta(X_2 - X_3 \bar{x}) + 2(X_2 - X_3 \bar{x}) \right] \\ &\quad \cdot \left(\frac{X_3^3}{6} - \frac{X_3^2}{2} \bar{z} \right) - 2\eta \left(\frac{X_3^3}{6} \bar{x} - \frac{X_3^2}{2} \bar{z} \right) \bar{n}_x dw \end{aligned}$$

$$\begin{aligned}
 & + \rho g \int_{W_0} \frac{1}{2} [(X_2 - X_3 \bar{x})^2 - 2\eta(X_2 - X_3 \bar{x})] \\
 & - \frac{X_3^2}{2} \bar{n}_x dw - \rho g \int_{S_0} \bar{z} X_3 \bar{n}_z ds - \rho \int_{S_0} X_1 \frac{\partial u}{\partial t} \\
 & \cdot \left(\bar{n}_x + X_3 \bar{n}_z - \frac{X_3^2}{2} \bar{n}_x \right) ds \\
 & + \rho \int_{S_0} X_1 \frac{(h+\bar{z})^2}{3} \frac{\partial^3 u}{\partial x^2 \partial t} \bar{n}_x ds \\
 & - \rho \int_{S_0} X_1 u \frac{\partial u}{\partial \bar{x}} \bar{n}_x ds \\
 & - \rho \int_{S_0} \left(\bar{z} X_3 - \frac{X_3^2}{2} \bar{x} \right) \frac{\partial u}{\partial t} \bar{n}_x ds \\
 & + \rho \int_{S_0} (h+\bar{z})(X_2 - \bar{x} X_3) \frac{\partial^2 u}{\partial \bar{x} \partial t} \bar{n}_x ds \\
 & - \rho g \int_{S_0} (X_2 - \bar{x} X_3) \left(\bar{n}_x + X_3 \bar{n}_z - \frac{X_3^2}{2} \bar{n}_x \right) ds \\
 & - \rho g \int_{S_0} \left(\frac{X_3^2}{6} \bar{x} - \frac{X_3^2}{2} \bar{z} \right) \bar{n}_x ds
 \end{aligned} \quad \dots \dots \dots \quad (27)$$

ここに、 W_0 は水線面で、2次元浮体の場合、水面と浮体の境界点となる。上式 (27) の右辺第2項、第3項および第4項は静水圧および積分範囲の変更にともなう補正項で、第5項以降の各項は浮体の運動によって生じる流体力、すなわち式 (22) の右辺第2項以降の各項の寄与を示す。

5. 数値計算法

浮体下で成り立つ Boussinesq 方程式系 (21)～(23) は浮体の平衡位置で固定された座標系を用いて定義されているため、基本的には波動場の Boussinesq 方程式 (24) および (25) に対してと同様な計算手法を適用することができる。ここでは、前報 (喜岡・平岡、1994) で固定浮体まわりの波変形の解析に用いた差分法と同様なアルゴリズムにより、各時間ステップにおける波動場の u と η および浮体まわりの u と p を求めた。波動場領域と浮体下領域の境界点における u と η は前報同様に予測・修正法を用いて決定した。なお、解析理論上、浮体の断面形状についての制約はないが、計算に差分法を用いていけるために、矩形断面のように波動場と浮体の境界点が多価関数となるような浮体形状に対しては本解析法を適用することができない。

得られた浮体まわりの u 、 η および p を数値積分して各時間ステップにおける流体力 F_i を求め、次いで運動方程式 (26) を解いて各時間ステップごとの浮体の動搖量 X_j と動搖速度 \dot{X}_j を求めた。流体力の積分には台形公式を、浮体の運動方程式の積分には4次の Runge-Kutta 法を用いた。

浮体背後の透過側の開境界 (静水中での浮体の Radiation 問題の解析にあたっては両端の開境界) にはスpon

ジ層を配置するとともに、その外側と入射境界では Sommerfeld 型の放射条件を課して透過波と浮体からの反射波については自由透過させた。

6. 計算結果とその考察

(1) Radiation 問題

浮体下の Boussinesq 方程式系 (21)～(23) に基づく解析法の妥当性を検証するために、前報 (1994) の固定浮体と同様な台形断面の模型浮体 (側面勾配 5:12、幅 55 cm、最大喫水深 8.0 cm) を水深 $h=20$ cm の静水中において各運動モードで強制振動させて発散波の解析を行った。浮体の重心は $z=-3.0$ cm である。動揺は周期 T の単振動とし、Sway, Heave 運動の振幅はそれぞれ 1 cm、Roll 運動については浮体の両端の変位が 1 cm となるように回転角変位を与えた。

図-2 に周期 $T=1.2$ s, 1.5 s および 2.0 s の Heave を与えたときの発散波の空間波形を示す。図中央の浮体の領域では水位変動 η の代わりに圧力変動 $p/\rho g$ の値をプロットしてある。図の (b) に示した $T=1.5$ s のケースを除いて、発散波は両端の開境界に配置したスポンジ層によりほぼ完全に消波されている。包絡波形には非線形干渉による振幅変調が見られるものの、図中に示した

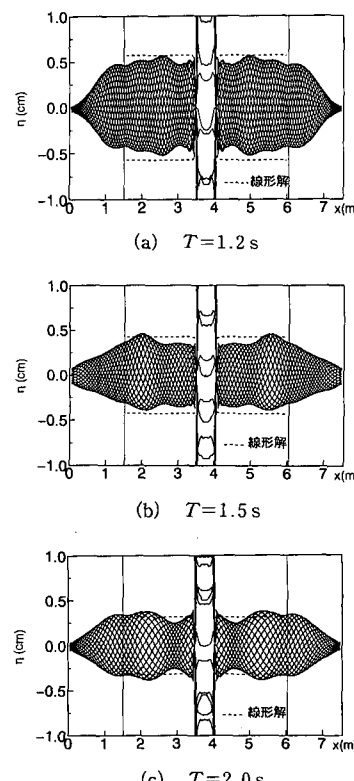
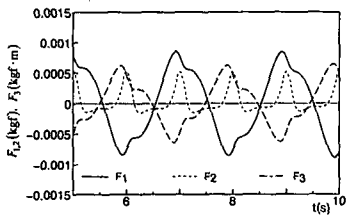
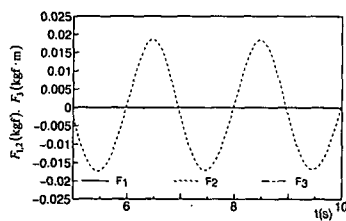


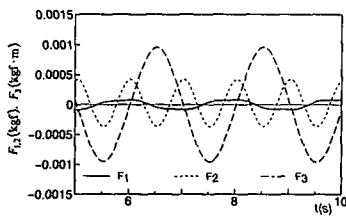
図-2 Heave による発散波



(a) Sway



(b) Heave



(c) Roll

図-3 各運動モードにより生じる流体力

2次元グリーン関数法による線形解と良く一致している。

周期 $T=2.0\text{ s}$ で各運動モードを与えたときの Radiation 力の計算結果を図-3 に示す。この流体力には浮体の有限振幅運動の効果や静水力学的な復元力が含まれているため、線形理論による Radiation 力とは一致しない。Sway および Roll 運動による z 方向の力 F_z はこの場合 0 とはならず倍周波数の成分を持つ。

(2) 長周期動揺

Radiation 問題の解析に用いた模型浮体を係留し、2 成分波を入射させて応答解析を行った。係留バネは Sway, Heave および Roll の各動揺モード方向にそれぞれ $K_{11}=0.11\text{ kgf/m}$ (1.05 N/m), $K_{22}=0.38\text{ kgf/m}$, (3.72 N/m), $K_{33}=1.02\text{ kgf}\cdot\text{m}$ ($10.0\text{ N}\cdot\text{m}$) で線形とした。2 成分波の周期は $T_1=1.1\text{ s}$ と $T_2=1.3\text{ s}$ とし、振幅はともに等しく 1 cm とした。入射波としてはこの2成分波に、波動場の Boussinesq 方程式 (24), (25) から得られる2次の伝達関数を介して周波数差の長周期波

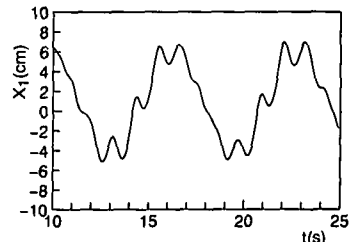


図-4 2成分波による Sway の長周期動揺

η_i を求めて合成したものを用いた。

図-4 に Sway 動揺の時間変化を示す。2成分波の平均周期 $T=1.2\text{ s}$ ではなく長周期波の周期 $T_1=6.5\text{ s}$ に対応する長周期動揺が卓越している。この長周期動揺の振幅は、入射波周期 T_1 の長周期波 η_i に対して 2次元グリーン関数法を用いて計算した線形理論値 $X_i=6.10\text{ cm}$ と比べるといくぶん小さくなっている。

7. おわりに

固定浮体の Diffraction 問題の解析に用いた Boussinesq 方程式をさらに拡張して Radiation 問題の新たな解析法を提案した。さらに、係留浮体の運動方程式を組み込むことにより浮体の長周期動揺を具体的に求めて、浮体の非線形応答解析に対する Boussinesq 方程式法の有用性を示した。用いる Boussinesq 方程式系は項数も多く、いくぶん煩雑であるが、浮体の運動方程式と組み合わせて解くことにより平均流速および浮体近傍の水位変動のみにより全流体力が決定されるので、時間領域の浮体の非線形動揺計算法としては効率的な解析法といえよう。

参考文献

- 喜岡 渉・平岡慎司 (1994): Boussinesq 方程式を用いた浮体までの波変形の解析、海岸工学論文集、第 41巻、pp. 981-985.
- 中村孝明・田中良弘 (1993): 係留浮体における長周期動揺に関する一考察、海岸工学論文集、第 40巻、pp. 886-890.
- Kioka, W. and S. Hiraoka (1995): Numerical modeling of wave interaction with two-dimensional floating bodies in shallow water, Proc. Int'l. Offshore and Polar Eng. Conf., Vol. 3, pp. 492-498.
- Ng, J. Y. T. and M. Isaacson (1993): Second-order wave interaction with two-dimensional floating bodies by a time-domain method, Appl. Ocean Res., Vol. 15, pp. 95-105.
- Nwogu, O. (1993): Alternative form of Boussinesq equations for nearshore wave propagation, J. Waterway, Port, Coastal and Ocean Eng., Vol. 119, pp. 618-638.